

13

INTERFEROMETRIA

Ing. E. Filloy-Dr. R. Colomb

INSTITUTO ROMETILIA

Informe No. 1 - 1971

F.R Colomb , E.M Filloy

En este informe se presentan las características geométricas básicas para un interferómetro de dos antenas y en especial aplicadas al futuro interferómetro del Instituto Argentino de Radioastronomía.

Consideremos un interferómetro del tipo mostrado en la fig. 1 . Las dos antenas están separadas por una distancia D/λ longitudes de onda. Las antenas tienen un área efectiva A_1 y A_2 y a cada una está asociado un receptor con ganancias G_1 y G_2 respectivamente. El ancho de banda de los receptores es ΔF . Determinaremos la respuesta del interferómetro a una fuente puntual cuya densidad de flujo es S . La radiación incidente forma un ángulo θ con la línea que une las dos antenas. Asumimos que las antenas siguen a la radiofuente.

Las potencias en los terminales de cada antena son :

$$(1) \quad 1/2 A_1 S \Delta F$$
$$\text{y} \quad 1/2 A_2 S \Delta F$$

El factor $1/2$ es debido a que las antenas aceptan solo un estado de polarización. Los voltajes en los puntos A y B de la fig. 1 son :

$$(2) \quad V_A = \sqrt{1/2 A_1 G_1 \Delta F S} \sin(\omega t - \frac{2\pi D}{\lambda} \cos \theta)$$
$$V_B = \sqrt{1/2 A_2 G_2 \Delta F S} \sin \omega t$$

Estas señales son multiplicadas en el correlador (o multiplicador) y luego filtradas de tal manera que las componentes de alta frecuencia son eliminadas. La salida $f(\theta)$ es entonces :

$$(3) \quad f(\theta) = 1/8 AG \Delta F S \cos \left(\frac{2\pi D}{\lambda} \cos \theta + a \right)$$
$$A = \sqrt{A_1 A_2} \quad G = \sqrt{G_1 G_2}$$

a es una constante de fase que depende de la diferencia del camino eléctrico entre el oscilador local y las antenas.

$f(\theta)$ nos da el diagrama de las franjas de interferencia cuyo máximo ocurre en direcciones donde la diferencia en caminos desde las dos antenas es un número entero de longitudes de onda. θ es una función del tiempo (ángulo horario) debido al movimiento de la radiofuente. Desarrollaremos θ en función de las coordenadas de la fuente y del interferómetro. En la fig. 2 puede verse la porción

de la esfera celeste por sobre el horizonte local. La posición de la fuente S se da en términos del ángulo horario H y de la declinación δ. La proyección norte a lo largo de la línea de base determina un punto I que designaremos como el polo del interferómetro. Este punto tiene un ángulo horario fijo h y una declinación d.

El triángulo esférico formado por la fuente (S), el polo celeste (PN) y el polo del instrumento (I), nos permite expresar $\cos \theta$ en términos de las coordenadas de la fuente (H, δ) y las del interferómetro (h, d). Por la ley de los cosenos obtenemos :

$$(4) \quad \cos \theta = \sin d \sin \delta + \cos d \cos \delta \cos(H-h)$$

Introduciendo este valor en (3) obtenemos :

$$(5) \quad f(H, \delta, h, d) = \text{cte.} \cos \left\{ \frac{2\pi D}{\lambda} \cos \left(\sin d \sin \delta + \cos d \cos \delta \cos(H-h) \right) \right\}$$

La proyección de la línea de base en la dirección de la fuente, como puede verse en la fig. 2 es $D/\lambda \sin \theta$, con ángulo de posición p. Las componentes este-oeste y norte-sur de la línea de base proyectada son :

$$(6) \quad \begin{aligned} u &= D/\lambda \sin \theta \sin p \\ v &= D/\lambda \sin \theta \cos p \end{aligned}$$

Usando las leyes de la trigonometría esférica podemos expresar u y v en función de H, δ, h, d .

$$(7) \quad \begin{aligned} u &= D/\lambda \cos d \sin(H-h) \\ v &= D/\lambda \sin d \cos \delta - \cos d \sin \delta \cos(H-h) \end{aligned}$$

Estas relaciones son las ecuaciones paramétricas de una elipse, $(H-h)$ es el parámetro. Esta ellipse tiene las siguientes propiedades :

- 1) El eje mayor es paralelo al eje u
- 2) el centro está en $u = 0, v = D/\lambda \sin d \cos \delta$
- 3) El eje mayor es $D/\lambda \cos d$ y el menor $D/\lambda \sin d \cos \delta$
- 4) La excentricidad es $\cos \delta$

La velocidad a la cual las franjas de interferencia pasan a través de una fuente dependen del ángulo horario y declinación de dicha fuente y de los parámetros del interferómetro. Esta velocidad es la frecuencia de las franjas de interferencia definida como:

$$(8) \quad F(H, \delta) = \left[\frac{\partial (D/\lambda \cos \delta)}{\partial H} \right]_{\delta} \quad (\text{para un interferómetro dado})$$

$$= D/\lambda \cos d \cos \delta \sin (\Pi - h) \text{ ciclos/radianes}$$

$$= D/\lambda \frac{\cos d \cos \delta \sin (\Pi - h)}{13751} \text{ ciclos/segundos}$$

La relación entre los parámetros de la línea de base y las coordenadas geográficas del lugar están dadas por la siguiente fórmulas :

$$(9) \quad \begin{aligned} \sin d &= \sin \varphi \sin \delta + \cos \varphi \cos \delta \cos A \\ \cotg h &= \sin \varphi \cotg A - \tan \delta \cos \varphi \cos A \end{aligned}$$

φ latitud del lugar , A = azimut de la línea de base, δ elevación del polo del interferómetro.

Aplicación al interferómetro del IAR

En una primera fase el interferómetro del IAR consistirá de dos antenas parabólicas de 30 m de diámetro cada una, montadas ecuatorialmente, con movimientos $-90^\circ \leq \delta \leq +90^\circ$ y $-30^\circ \leq \Pi \leq +30^\circ$, colocadas a una distancia de 120 m en la dirección norte-sur. En el futuro se proyectan adicionar bases a 200, 400 y 800 m. La frecuencia inicial de trabajo será de 1420 MHz ($\lambda = 21$ cm). Las primeras experiencias se realizarán en el continuo, previéndose las instalaciones para trabajar en la línea de 21 cm del hidrógeno neutro.

Para un interferómetro norte-sur, de las fórmulas (9) obtenemos con $A = 0$

$$\begin{aligned} \sin d &= \cos \varphi \quad \varphi = -34^\circ 52' \quad d = 55^\circ 00' \\ \cotg h &= \infty \quad h = 0^\circ \end{aligned}$$

(d es positivo porque es la declinación de la intersección norte de la línea de base del interferómetro)

Adoptamos $D/\lambda = 571$ ($D = 120$ m , $\lambda = .21$ m).

De la fórmula (7) obtenemos

$$u = 327 \sin \Pi$$

$$v = 468.22 \cos \delta - 326.61 \sin \delta \cos \Pi$$

De la (8) obtenemos :

$$F = .041 \cos d \cos \delta \sin \Pi \text{ ciclos/segundo}$$

Además de la fig. 1 deducimos las siguientes cantidades :

$$R = D \cos \theta = 98.28 \sin \delta + 68.67 \cos \delta \cos \Pi$$

$$L = \sqrt{D^2 - R^2}$$

$$T = E/c \quad (c \text{ velocidad de la luz})$$

Mediante un program ejecutado en la computadora IBM 360 de la UNLP hemos calculado estas cantidades cada 10° en declinación y cada 2° en Ángulo horario, que pueden verse en la tabla 1. En la fig. 3 están representadas u y v para declinaciones -10° , -40° y -70° , variando H de -30° a $+30^\circ$. En la fig. 4 se representan las frecuencias de las franjas de interferencia para distintas declinaciones, en función del Ángulo horario. Como vemos la frecuencia varía desde 0 a aproximadamente 1 franja de interferencia cada 2 minutos. Por lo tanto será necesario la introducción de un rotador de fase para acrecentar dicha frecuencia. En la fig. 5 se representa R, que nos da la cantidad de cable necesario a agregar en una de las antenas para compensar el camino adicional recorrido por la señal en una de las antenas, cuando la incidencia no es normal (si las escalas se dividen por .3 obtenemos los retardos en unidades de 10^{-9} s). Por último en la fig. 6 representamos L, que es la longitud de la línea de base efectiva.

En el futuro se redactarán nuevos informes dando cuenta del diseño y fases constructivas del interferómetro.

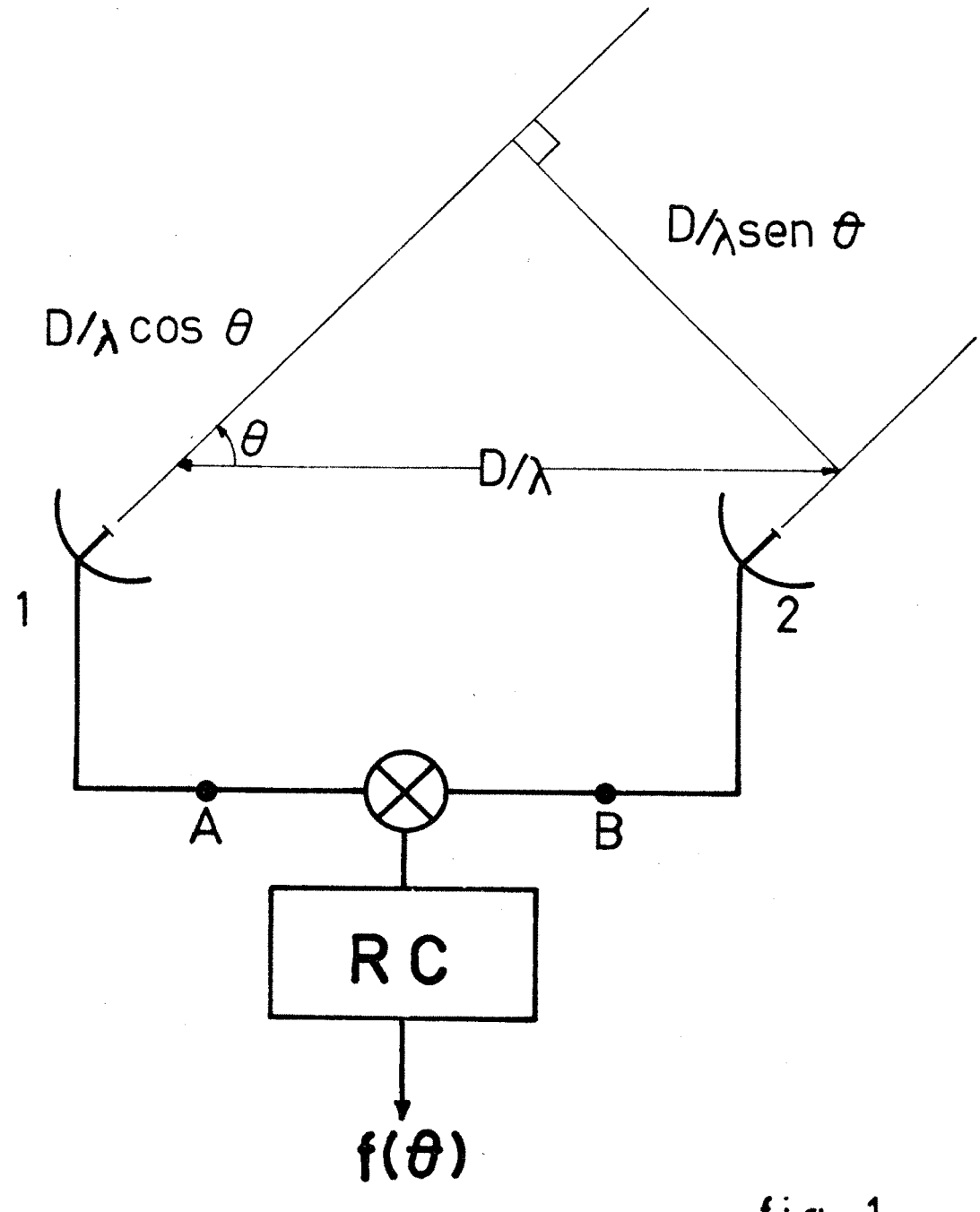


fig 1

REPORT NO. 6. FORT. 16

DATE = 72105 DATE = 01/14/27

PAGE 1

C PROGRAMMING LANGUAGE FOR TRANSMISSIONS REFERENCE

C COMPUTERS OPERATING LONGITUDINAL BASE EFFECTIVELY REFERENCE

C DATA FILE SYSTEM REFERENCE

DEFITA = 0.

AH = 0.

DFC = DEFITA/57.29579

ANHC = AH/57.29579

TFC = 92.78 + SIN(ANHC) * COS(DFC)

OFF = -10.29 + SIN(DFC) + 68.67 * COS(DFC) * RFS(ANHC)

FPI = SQR(164.66 * DF * DF * PI)

TAC = SRF / 299.76

WLTTR(4,1,1) = DELTA * AH * RFS * RER * SELECTAR

110 EOPNAT(256,128,128)

11A FRFCLNCA(NPASESED DIVISION AND WLT

11A TPIAH * GE * 2.0

AH = AH + 2.0

GO TO 10

11B DPLTA = DELTA + 10.0

11C AH = C * GE * RCR * RER TR 20

11D TPIAH * GE * 2.0

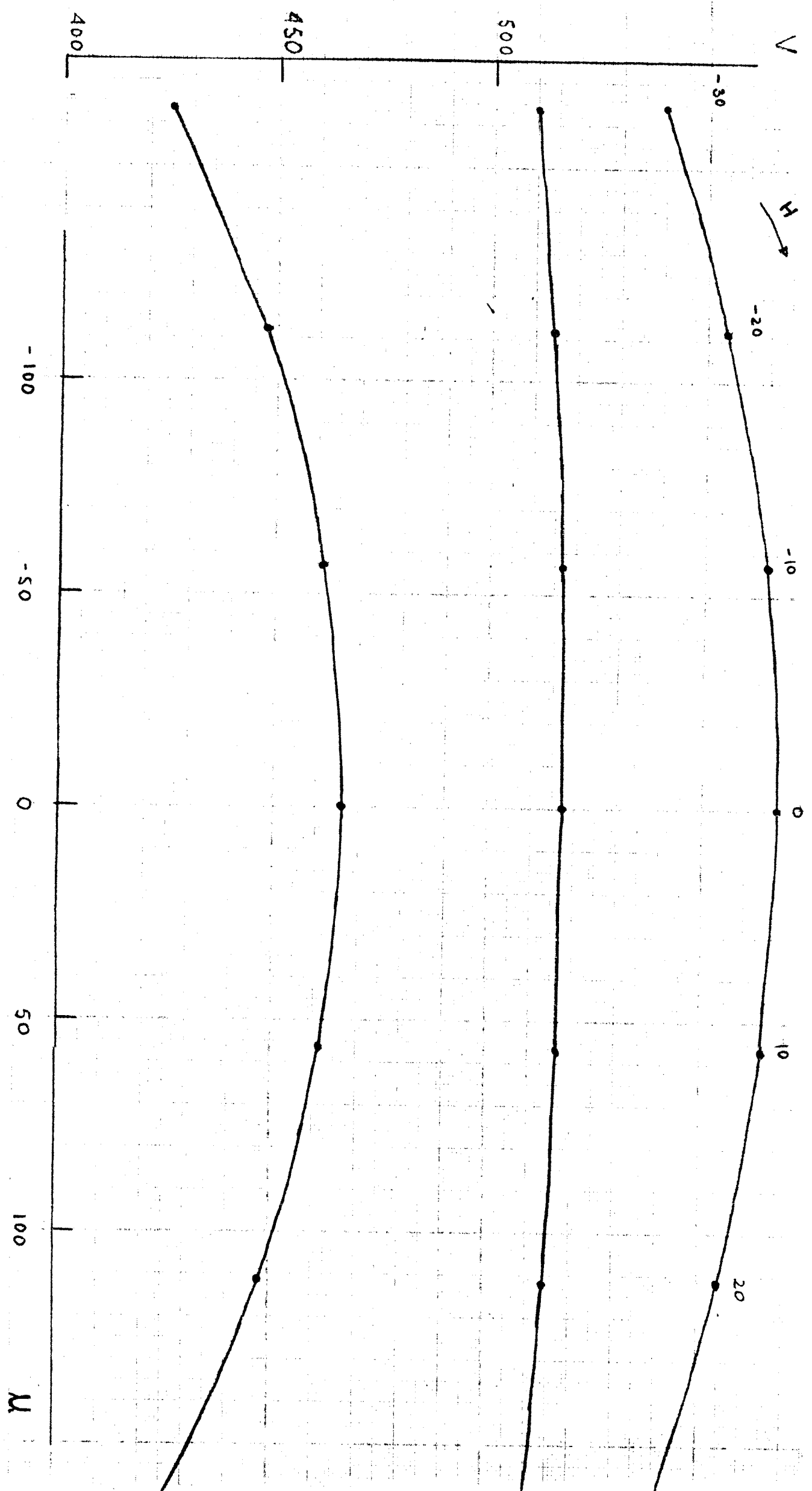
11E CALL EXIT

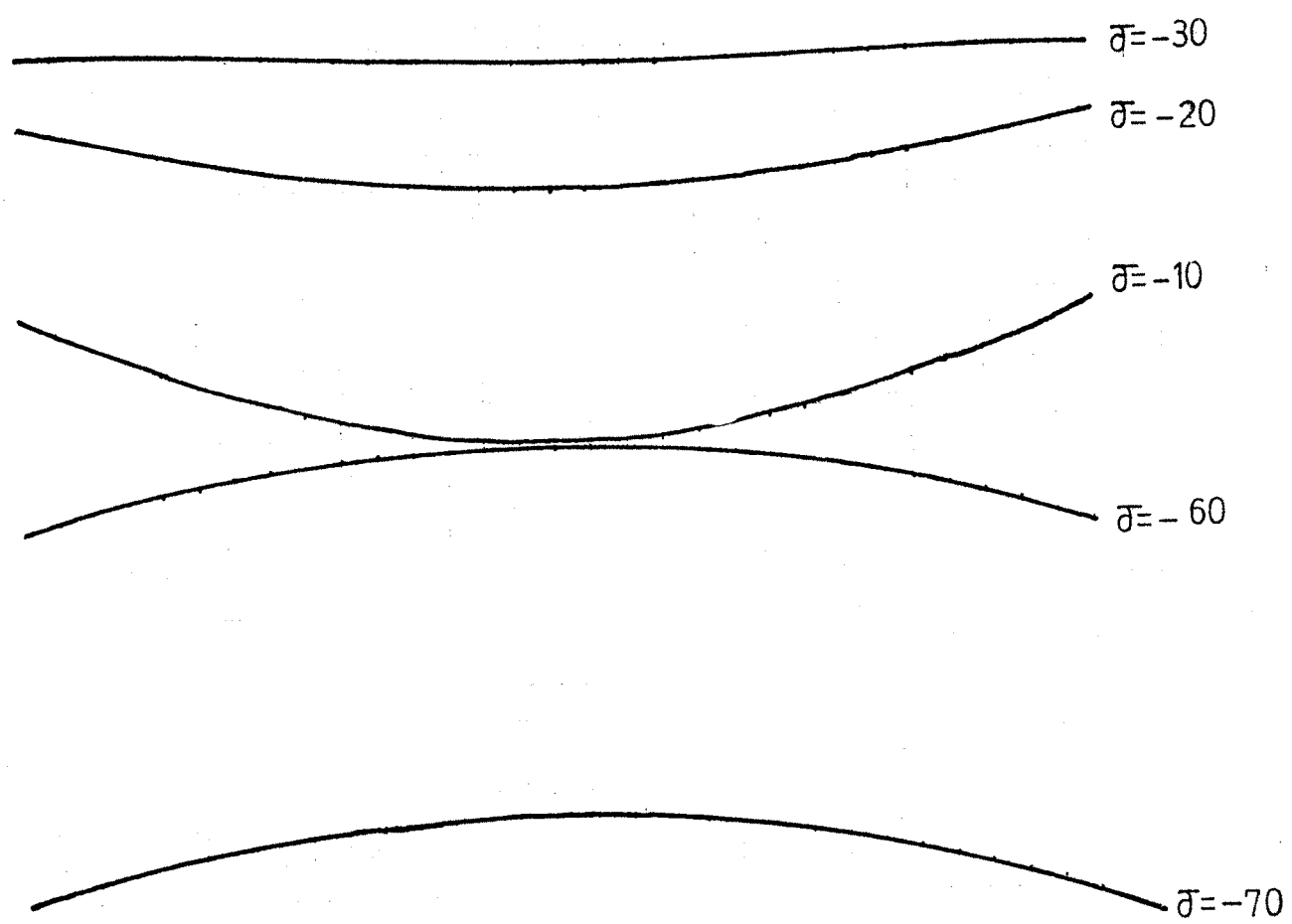
END

C.F.S.D.T. * * * * LKFD
 XXXC EXEC PGME= * LKFD . SYSIMOD,COND=((4,LT,FORT),(4,LT,LKFD))
 XXXTC5F001 FF FPNAMF=SYSTM
 XXXT06F001 FF SYSINIT=A
 XXXT07F001 FF SYSINIT=B

δH	FREC(c/s) . 10^3	R(m)	L(m)	$\zeta (\times 10^{-9}s)$
0.0	0.0	0.0	0.0	220.060349
0.0	2.0	0.929910	0.409515	228.920702
0.0	4.0	1.658807	0.438705	228.502350
0.0	6.0	2.486685	0.526031	227.305511
0.0	8.0	3.206634	0.526031	226.931161
0.0	10.0	4.126250	0.526031	225.580392
0.0	12.0	4.944135	0.526031	224.054810
0.0	14.0	5.752901	0.526031	222.256271
0.0	16.0	6.561652	0.526031	220.186261
0.0	18.0	7.348422	0.526031	217.849304
0.0	20.0	8.132227	0.526031	215.246307
0.0	22.0	8.908141	0.526031	212.381042
0.0	24.0	9.672194	0.526031	209.257004
0.0	26.0	10.424464	0.526031	205.978082
0.0	28.0	11.164032	0.526031	202.248276
0.0	30.0	11.895997	0.526031	199.372055
10.0	0.0	0.0	0.409515	168.653473
10.0	2.0	0.917302	0.409515	168.516052
10.0	4.0	1.622405	0.409515	168.103910
10.0	6.0	2.447022	0.409515	167.417725
10.0	8.0	3.250254	0.409515	166.459130
10.0	10.0	4.066615	0.409515	165.226395
10.0	12.0	4.840026	0.409515	163.723984
10.0	14.0	5.615502	0.409515	161.952774
10.0	16.0	6.385673	0.409515	159.914856
10.0	18.0	7.226782	0.409515	157.612778
10.0	20.0	8.003675	0.409515	155.040284
10.0	22.0	8.772864	0.409515	152.227539
10.0	24.0	9.525252	0.409515	149.151001
10.0	26.0	10.268053	0.409515	145.823364
10.0	28.0	10.904428	0.409515	142.248734
10.0	30.0	11.705342	0.409515	139.431412
20.0	0.0	0.0	0.409515	103.122070
20.0	2.0	0.779940	0.409515	102.990006
20.0	4.0	1.568746	0.409515	102.597717
20.0	6.0	2.325780	0.409515	101.942902
20.0	8.0	3.099444	0.409515	101.027298
20.0	10.0	3.860320	0.409515	99.951950
20.0	12.0	4.645970	0.409515	99.418411
20.0	14.0	5.405558	0.409515	96.728333
20.0	16.0	6.159280	0.409515	94.783752
20.0	18.0	6.905288	0.409515	92.587143
20.0	20.0	7.642743	0.409515	90.141120
20.0	22.0	8.370914	0.409515	87.448654
20.0	24.0	9.088990	0.409515	84.512000
20.0	26.0	9.795793	0.409515	81.337914
20.0	28.0	10.490758	0.409515	77.926910
20.0	30.0	11.172943	0.409515	74.224495
20.0	0.0	0.0	0.409515	34.457352
20.0	2.0	0.718723	0.409515	34.336472
20.0	4.0	1.424568	0.409515	33.074121
20.0	6.0	2.152666	0.409515	33.370621
20.0	8.0	2.866140	0.409515	32.526779
20.0	10.0	3.576121	0.409515	31.443610
20.0	12.0	4.281740	0.409515	30.122452
20.0	14.0	4.982159	0.409515	28.564865
20.0	16.0	5.676406	0.409515	26.772736
20.0	18.0	6.362919	0.409515	24.748306
20.0	20.0	7.042590	0.409515	22.494019
20.0	22.0	7.714676	0.409515	20.012434
20.0	24.0	8.276366	0.409515	17.307120
20.0	26.0	8.927850	0.409515	14.380899
20.0	28.0	9.668226	0.409515	11.237420
20.0	30.0	10.329726	0.409515	7.880527
40.0	0.0	0.0	-10.668962	-35.254319
40.0	2.0	0.625748	-10.600652	-35.361252
40.0	4.0	1.270720	-10.657037	-35.621763
40.0	6.0	1.804145	-10.667071	-34.215501
40.0	8.0	2.525250	-11.080941	-36.962036
40.0	10.0	3.142265	-11.268072	-37.920120
40.0	12.0	3.787430	-11.719420	-39.088701
40.0	14.0	4.406978	-12.131470	-40.466553
40.0	16.0	5.021155	-12.666705	-42.051729
40.0	18.0	5.629219	-13.142525	-43.842494
40.0	20.0	6.230421	-13.741319	-45.836472
40.0	22.0	6.824632	-14.366228	-48.031419
40.0	24.0	7.409231	-15.116776	-50.424545
40.0	26.0	7.095660	-15.827661	-53.012985
40.0	28.0	8.552145	-16.726364	-55.703504
40.0	30.0	9.109267	-17.616531	-58.762909
50.0	0.0	0.0	-21.146677	-103.804852
50.0	2.0	0.522456	-21.172528	-102.984589
50.0	4.0	1.266260	-21.254166	-104.253540
50.0	6.0	1.857237	-21.365427	-104.524733

40.0	24.0	7.4692231	-15.1167176	11.0440211	-50.4245456
40.0	24.0	7.9856062	-15.8227671	11.8.942617	-53.0129895
40.0	28.0	9.5521455	-16.726364	11.9.9295562	-55.703504
40.0	30.0	9.1062677	-17.6165231	11.8.659960	-59.7629099
50.0	24.0	0.5324566	-21.1466277	11.5.987290	-103.804852
50.0	24.0	1.0662660	-21.1725228	11.5.980142	-103.984589
50.0	26.0	1.6673767	-21.2541166	11.5.858429	-104.253540
50.0	28.0	2.1277227	-21.5674218	11.5.771072	-105.3277889
50.0	30.0	2.7542294	-21.9172230	11.5.705078	-106.1217229
50.0	32.0	3.1786220	-22.111206	11.5.623825	-107.1122335
50.0	34.0	3.8078082	-22.4577524	11.5.527008	-108.268432
50.0	36.0	4.2132495	-22.8566552	11.5.414230	-109.528572
50.0	38.0	4.722474	-23.2076222	11.5.295034	-111.101181
50.0	40.0	5.227943	-23.808624	11.5.139847	-112.774368
50.0	42.0	5.726042	-24.260764	11.4.975372	-114.4616119
50.0	44.0	6.217184	-24.962748	11.4.793732	-116.6242207
50.0	46.0	6.702714	-25.618952	11.4.593389	-118.726143
50.0	48.0	7.176101	-26.313370	11.4.373672	-121.129364
50.0	50.0	7.642742	-27.046318	11.4.133825	-123.620041
60.0	20.0	0.0	-50.777054	10.8.727172	-169.378413
60.0	22.0	0.4149555	-50.709874	10.8.717292	-169.442212
60.0	24.0	0.8264524	-50.861662	10.8.689065	-170.657455
60.0	26.0	1.242943	-50.564049	10.8.639130	-170.005944
60.0	28.0	1.654787	-51.112106	10.8.570480	-170.493042
60.0	30.0	2.046675	-51.209591	10.8.482040	-171.1194339
60.0	32.0	2.472070	-51.528250	10.8.373566	-171.881195
60.0	34.0	2.876451	-51.797852	10.8.244995	-172.7904557
60.0	36.0	3.277227	-52.108032	10.8.056024	-173.815125
60.0	38.0	3.674212	-52.458435	10.7.926407	-174.003948
60.0	40.0	4.046619	-52.848618	10.7.735901	-175.285477
60.0	42.0	4.454071	-52.278107	10.7.524130	-177.718100
60.0	44.0	4.832088	-53.746384	10.7.320833	-179.280121
60.0	46.0	5.212233	-54.252960	10.7.035629	-180.960590
60.0	48.0	5.682017	-54.796591	10.6.758102	-182.784470
60.0	50.0	6.146000	-55.277975	10.6.457870	-184.7225655
70.0	20.0	0.0	-60.864645	9.8.272141	-229.715663
70.0	22.0	0.283846	-60.952766	9.8.262100	-229.763412
70.0	24.0	0.567344	-60.9232676	9.8.232010	-229.006540
70.0	26.0	0.850155	-60.955117	9.8.191854	-230.144852
70.0	28.0	1.131827	-60.955032	9.8.111572	-230.4781119
70.0	30.0	1.412221	-60.9222282	9.8.021110	-230.905930
70.0	32.0	1.690000	-60.979700	9.7.910477	-231.427689
70.0	34.0	1.967608	-60.941117	9.7.779526	-232.042847
70.0	36.0	2.241824	-60.776291	9.7.629220	-232.750530
70.0	38.0	2.512209	-60.615976	9.7.456492	-233.5500053
70.0	40.0	2.781732	-60.282867	9.7.264175	-234.442053
70.0	42.0	3.044748	-60.576680	9.7.051288	-235.420349
70.0	44.0	3.309086	-60.895973	9.6.817459	-236.499900
70.0	46.0	3.564378	-61.242428	9.6.562805	-237.644531
70.0	48.0	3.818225	-61.1561616	9.6.287100	-238.885956
70.0	50.0	4.066621	-61.13062	9.5.990219	-240.211700





- 20

0

+ 20

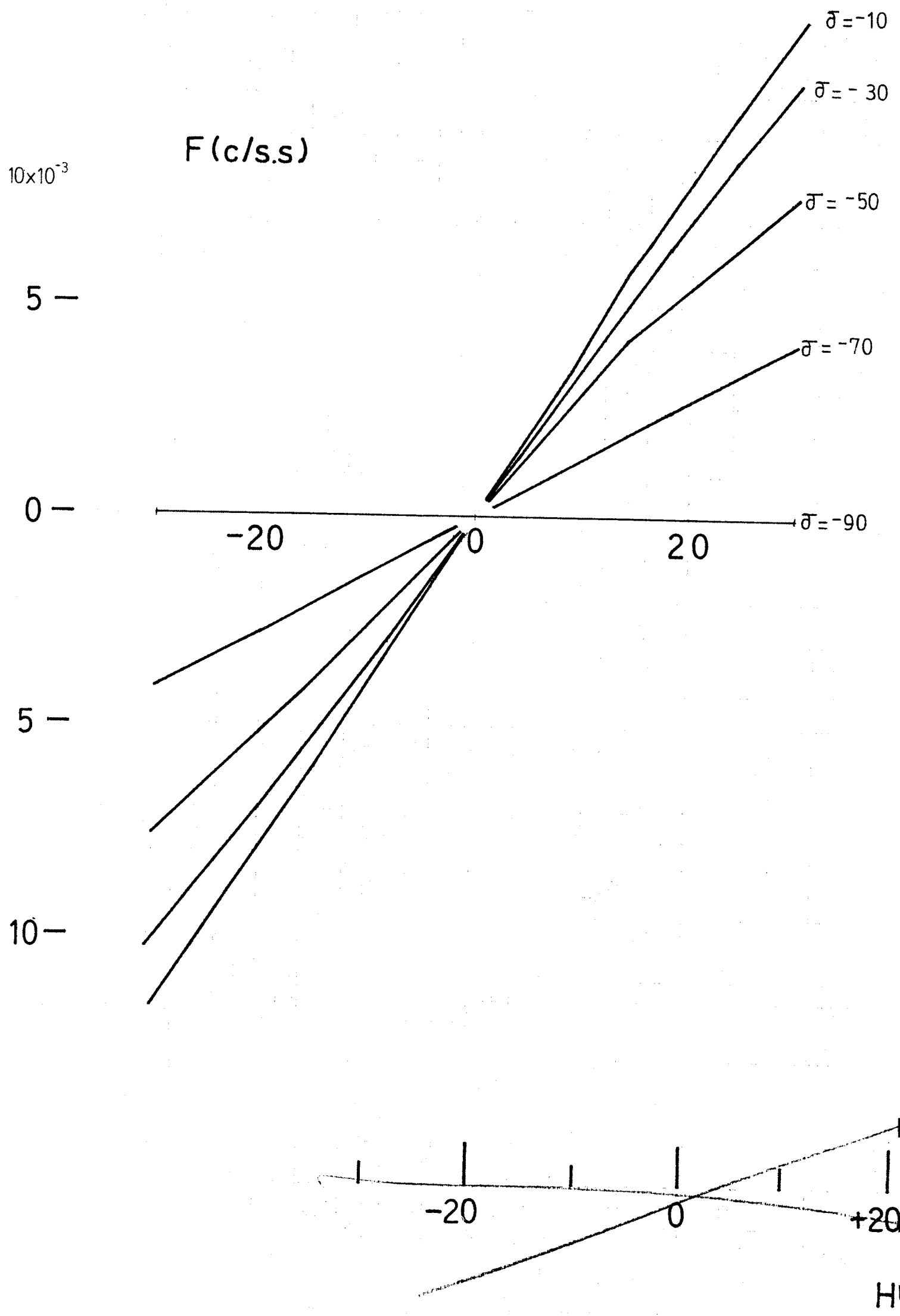
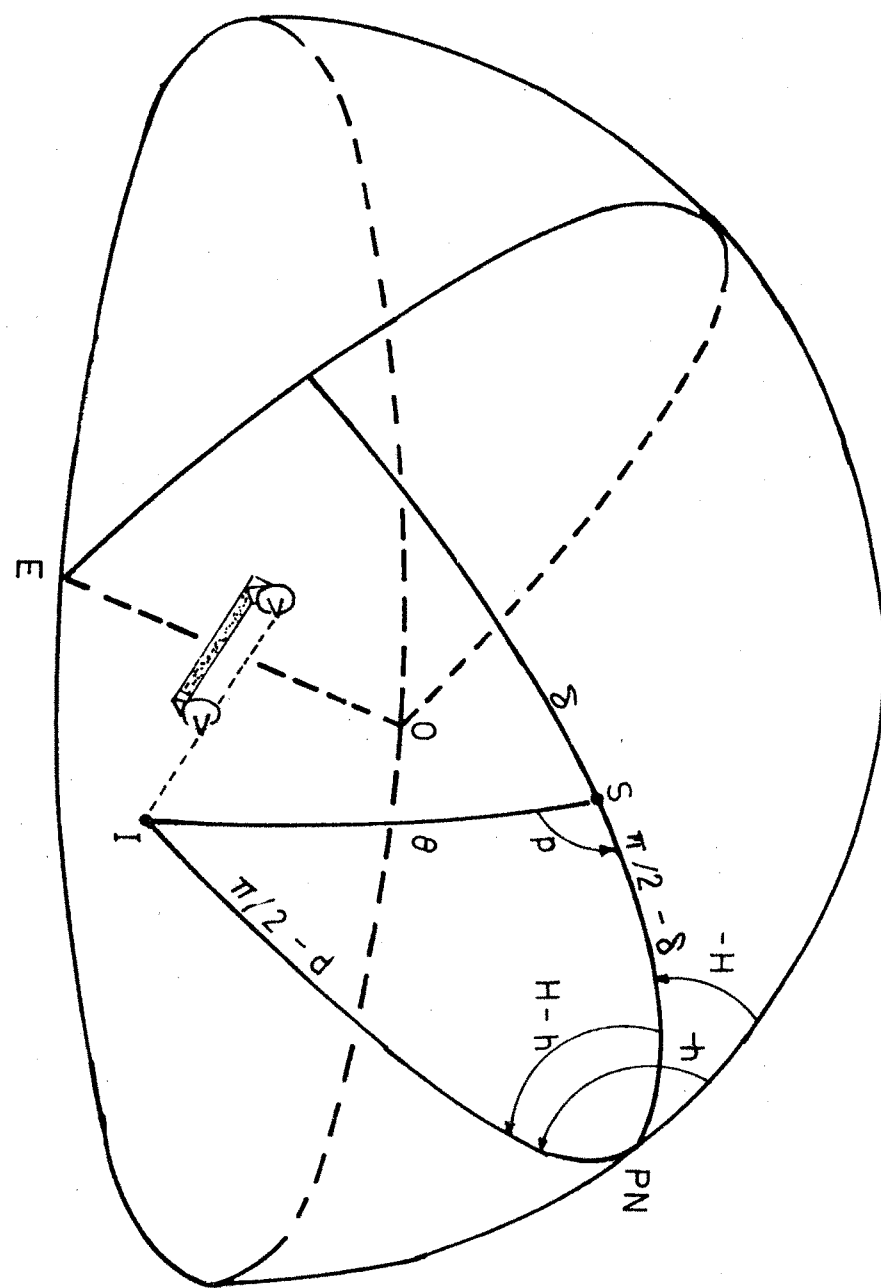


fig 2



$R(m)$

-40-

$\bar{\sigma} = -10$

-20-

$\bar{\sigma} = -20$

0-

$\bar{\sigma} = -30$

-20-

$\bar{\sigma} = -40$

-40-

$\bar{\sigma} = -50$

-20

0

+20